

第十四章 Bézier 曲线曲面的降阶逼近

在本书前面几章我们给出了参数曲线曲面的升阶公式，并在第五章推导有理圆锥曲线段的充要条件，第十章推导不同次数的参数曲线曲面几何连续条件，第十二章推导不同次数的 Hybrid 曲线曲面控制顶点之间的递推关系等过程中应用了升阶公式，看到了升阶公式的重要作用。本章考虑其反问题，即已知一条(张)Bézier 曲线(曲面)，要求确定阶数比其低的 Bézier 曲线(曲面)来近似地代替它。我们称这类问题为 Bézier 曲线曲面的降阶(Degree reduction)逼近。

降阶逼近不仅仅是升阶公式在数学上的逆运算，更重要的是它的实际背景。第一，它是 CAD 系统之间数据传递与交换的需要。不同的外形设计系统，其多项式基的最高次数不尽相同，许多系统为了运行的有效性，甚至往往限于低次，这就要求在数据传递之前把曲线曲面的 Bézier 网作近似的降阶变换，以便对方系统能够接受。第二，它是计算机图形系统中分段(片)线性逼近的需要。通过与离散相结合的逐次降阶，把曲线曲面化为直线平面，便于求交和曲面绘制。第三，它是外形信息压缩的需要。一条有理曲线的多项式逼近曲线，一条参数曲线的 offset(等距)逼近曲线或一张曲面的 trimmed(裁剪)边界曲线常常是高次曲线，模型设计或外形仿制中对数据点的拟合也常常产生高次曲线曲面，降阶处理以后可以减少存储的信息量。

由于 Bézier 曲线使用的广泛性和代表性，人们把它作为降阶逼近的研究原型，二十多年来发明了许多降阶方法，大致可分为以下两大类。

(一) 基于控制顶点逼近的几何方法: Forrest^[1]考虑了升阶的反过程，取降阶曲线的控制顶点： $\bar{P}_i = P_i^I, 0 \leq i \leq \lfloor n/2 \rfloor - 1$ ； $\bar{P}_i = P_i^II, \lfloor n/2 \rfloor + 1 \leq i \leq n$ ； $\bar{P}_{n/2} = (P_{n/2}^I + P_{n/2}^II)/2$ ；其中符号 $\lfloor x \rfloor, \lceil x \rceil$ 之意义见 §8.2，点向量 $\bar{P}_i^I = ((n+1)P_i - iP_{i-1})/(n+1-i), i = 0, 1, \dots, n$ ； $\bar{P}_{i-1}^II = ((n+1)P_i - (n+1-i)P_i^II)/i, i = n+1, n, \dots, 1$ ； $\{P_i\}_{i=0}^{n+1}$ 为原曲线的控制顶点，则降阶曲线保持端点 $[(n-1)/2]$ 阶插值。Farin^[2]类似地取 $\bar{P}_i = ((n-i)P_i^I + iP_i^II)/n$ 。这两种降阶的误差估计由 Park^[3]等给出；但由于降阶精度低，并不实用。Danneberg^[4]利用原曲线采样点的位置矢和导矢，用分段插值曲线进行降阶逼近。Hoschek^[5]用低次样条曲线 Y 插值原曲线 X ，利用 X 与 Y 的一、二阶几何连续条件 $X' = \lambda Y'$ 以及 $X'' = \lambda^2 Y'' + \mu Y'$ ，通过求离散点采样的 $\|X - Y\|$ 的最小二乘解求得 λ, μ 之值和 Y 的控制顶点。由于逼近曲线段数过多且需递归调整离散点参数，这一方法存储量大又费时。Moore^[6]以新旧曲线所用面积积极小为条件反求降阶曲线的控制顶点，Lodha^[7]以低次 Bézier 单形的凸线性组合来几何逼近高次 Bézier 单形，这两种方法比较繁琐，效率也不高。

(二) 基于基转换的代数方法: 利用 Chebyshev 多项式 $\{H_i(t)\}_{i=0}^n$ 构成 n 次多项式空间的基以及 n 次多项式 $\sum_{i=0}^n \alpha_i H_i(t)$ 的 $n-1$ 次最佳一致逼近恰是 $\sum_{i=0}^{n-1} \alpha_i H_i(t)$ 的性质，Watkins 和 Worsey^[8]通过把 Bernstein 基变为 Chebyshev 基，降阶，再变为 Bernstein 基，得到高精度降阶逼近算法。但为保端点插值而使用 Lagrange 插值，就失去了最佳逼近性。Lachance^[9]提出约束 Chebyshev 多项式的概念来保端点 r 阶插值，但 $r > 0$ 时无显式解。Eck^[10]结合运用 Forrest 和 Lachance 两人的技术，取降阶曲线 $\bar{P}(t)$ 的顶点 $\bar{P}_i = (1-\lambda_i)P_i^I + \lambda_i P_i^II$ ，按降阶逼近误差 $P(t) - \bar{P}(t) = 2^{-2n-1} H_{n+1}(2t-1) \Delta^{n+1} P_0$ 来求 λ_i ，其中 $H_{n+1}(2t-1)$ 为 $[0,1]$ 上的 $n+1$ 次 Chebyshev 多项式。Brunnett^[11]探讨了这种逼近的几何意义。以上方法都是 L_∞ 空间内最佳一致的逼近。在 L_2 空间内的研究，有 Eck^[12]用约束 Legendre 多项式所给出的最小二乘逼近，但为保端点 $r > 0$ 阶插值仍无显式解。

以上 Bézier 曲线的降阶方法各有长处，但也存在一些局限性。(1)有的计算较繁，有的精度较低，有的缺乏几何直观性，且在与离散法结合时，没有考虑两相邻降阶曲线间的几何连续性。(2)由于多变量 Chebyshev 理论还不完善^[13]，这一理论推广到解决参数曲面降阶，尤其

是非张量积曲面降阶有一定的困难。(3)绝大多数降阶方法每次只能降一阶,若需降多阶,则须采用逐次降阶,而且当逼近曲线要满足端点 r 阶($r \geq 0$)插值时,均无显式解,只能数值求解。这不仅导致计算耗时,而且误差很大。1995年, L.Piegl^[14]利用升阶的反过程对 n 次曲线降阶,可保端点 $([n/2]-1)$ 阶插值,但其同样每次只能降一阶且误差较大。同年, Bogacki^[15]通过基的转换并舍去 Chebyshev 多项式中多个高次项,终于实现了 Bézier 曲线的一次降多阶逼近,但在端点只能达到位矢插值,无法满足 $r > 0$ 阶导矢插值。

为克服以上的局限性,我们对 Bézier 曲线曲面的降阶开展研究。本章系统地介绍我们的研究成果。B 网扰动和约束优化法,具有明显的几何直观性,可同时适用于曲线曲面的降阶。用于曲线降阶时,给出显式格式和误差估计,结合离散算法可达到高精度,且保持 G^1 连续;用于 Bézier 矩形片和三角片降阶时,把降阶问题转化为求解线性方程组,而降阶的误差同样取决于原曲面的一些内在几何不变量。基于广义逆矩阵的 Bézier 曲线降阶法,将曲线的升阶与广义逆矩阵的最小二乘理论巧妙地结合起来,只要求解一个线性方程组就可一次降多阶,计算简单方便,逼近效果好。带端点插值条件的 Bézier 曲线降多阶法,既可一次降多阶,又可在曲线首末端点分别达到 $r, p(r, p \geq 0)$ 阶插值,并实现对原曲线的近似最佳一致逼近,计算简单稳定,易于实现,还可结合分割算法达到更快速的收敛。

至于有理曲线降阶,可以把多项式曲线的降阶方法应用到齐次坐标下来实现。此外, Sederberg 和常庚哲^[16]利用最佳线性公因子相当漂亮地给出平面有理 Bézier 曲线的一个降阶方法,陈发来^[17]利用移位的 Chebyshev 多项式进一步实现了保端点插值的有理曲线降阶逼近。在 B 样条曲线降阶方面, Piegl 和 Tiller^[14]分解原曲线为一系列 Bézier 曲线段,再用升阶反过程来降阶。Wolters^[18]运用了基于 B 样条曲线升阶的 Blossoming 法。在参数曲面降阶方面,目前的工作仅限于文献[4], [5], [9], [10]等曲线降阶方法的推广。

本章第 1 节内容取材于[HSM, SJG, JTG, WGZ, 98], [HSM, 96]; 第 2 节内容取材于[HSM, SJG, JTG, WGZ, 98]; 第 3 节内容取材于[HSM, 96]; 第 4 节内容取材于[CGD, WGJ, 2000a]; 第 5 节内容取材于[CGD, WGJ, 2000b]。

14.1 Bézier 曲线、Bézier 矩形片与 Bézier 三角片的退化条件

利用 n 次 Bézier 曲线、矩形域上 $m \times n$ 次 Bézier 曲面和三角域上 n 次 Bézier 曲面的算子表示(1.3.4), (7.2.3), (7.3.10), 我们可得到

定理 14.1.1 n 次 Bézier 曲线(1.3.2)退化到 $n-1$ 次 Bézier 曲线, $m \times n$ 次 Bézier 矩形片(7.2.1)退化到 $(m-1) \times (n-1)$ 次 Bézier 矩形片, n 次 Bézier 三角片(7.3.7)退化到 $n-1$ 次 Bézier 三角片的充要条件分别是以下各式均为零向量:

$$F(P_0, P_1, \dots, P_n) = \Delta^n P_0 = \sum_{i=0}^n (-1)^{n-i} \binom{n}{i} P_i, \quad (14.1.1)$$

$$\begin{cases} F(P_{0j}, P_{1j}, \dots, P_{mj}) = \Delta_1^m P_{0j} = \sum_{i=0}^m (-1)^{m-i} \binom{m}{i} P_{ij}, & j = 0, 1, \dots, n, \\ F(P_{i0}, P_{i1}, \dots, P_{in}) = \Delta_2^n P_{i0} = \sum_{j=0}^n (-1)^{n-j} \binom{n}{j} P_{ij}, & i = 0, 1, \dots, m, \end{cases} \quad (14.1.2)$$

$$F_k(T_{ij}) = \Delta_1^k \Delta_2^{n-k} T_{00} = \sum_{i=0}^k \sum_{j=0}^{n-k} (-1)^{n-i-j} \binom{k}{i} \binom{n-k}{j} T_{ij}, \quad k = 0, 1, \dots, n, \quad (14.1.3)$$

证 曲线(1.3.2)可退化到 $n-1$ 次, 当且仅当其幂级数表达式中 n 次项之系数为零向量, 也即

$$d^n P(t)/dt^n = d^n (I + t\Delta)^n P_0 / dt^n = n! \Delta^n P_0 = n! (E - I)^n P_0 = 0,$$

于是由(1.6.5), 得证(14.1.1)。同理, 矩形片(7.2.1)退化到 $(m-1) \times (n-1)$ 次, 当且仅当

$$\partial^m P(u, v) / \partial u^m = m! \Delta_1^m (I + v\Delta_2)^n P_{00} = m! \sum_{j=0}^n B_j^n(v) \Delta_1^m P_{0j} = 0,$$

$$\partial^n \mathbf{P}(u, v) / \partial v^n = n! \Delta_2^n (\mathbf{I} + u \Delta_1)^m \mathbf{P}_{00} = n! \sum_{i=0}^m B_i^m(u) \Delta_2^n \mathbf{P}_{i0} = \mathbf{0}.$$

由 Bernstein 基的线性无关性即得(14.1.2)之证. 最后, 三角片(7.3.7)退化到 $n-1$ 次, 当且仅当其幂级数表达式中所有 n 次项的系数均为零向量, 也即当 $k = 0, 1, \dots, n$ 时,

$$\partial^n \mathbf{T}(u, v) / (\partial u^k \partial v^{n-k}) = n! \Delta_1^k \Delta_2^{n-k} \mathbf{T}_{00} = n! (\mathbf{E}_1 - \mathbf{I})^k (\mathbf{E}_2 - \mathbf{I})^{n-k} \mathbf{T}_{00} = \mathbf{0},$$

这就证明了(14.1.3).

14.2 Bézier 曲线降阶的 B 网扰动和约束优化法

14.2.1 降阶的显式算法和误差估计

所谓 n 次 Bézier 曲线(1.3.2)的降阶, 系指寻求一条 $d(< n)$ 次 Bézier 曲线 $\bar{\mathbf{P}}(t)$, 使得

$$\max_{t \in [a, b]} \|\mathbf{P}(t) - \bar{\mathbf{P}}(t)\| = \text{MIN}, \quad (14.2.1)$$

这里 $\|\cdot\|$ 是 Euclidean 范数. 本节仅考虑 $d = n-1$ 之情形. 今对曲线(1.3.2)的每一个控制顶点 $\mathbf{P}_i = (P_i^x, P_i^y, P_i^z)$ 作一个小扰动 $\boldsymbol{\varepsilon}_i = (\varepsilon_i^x, \varepsilon_i^y, \varepsilon_i^z)$, 使新曲线

$$\bar{\mathbf{P}}(t) = \sum_{i=0}^n B_i^n(t) \bar{\mathbf{P}}_i = \sum_{i=0}^n B_i^n(t) (\mathbf{P}_i + \boldsymbol{\varepsilon}_i), \quad 0 \leq t \leq 1 \quad (14.2.2)$$

满足(14.1.1)为零向量的退化条件, 即 $\Delta^n \bar{\mathbf{P}}_0 = \mathbf{0}$, 这时新曲线为 $n-1$ 次 Bézier 曲线 $\mathbf{Q}(t)$, 我们视其为原曲线(1.3.2)的降阶逼近, 其控制顶点可由下式求出:

$$\begin{cases} \mathbf{Q}_0 = \mathbf{P}_0 + \boldsymbol{\varepsilon}_0 \\ \mathbf{Q}_i = (n/(n-i))(\mathbf{P}_i + \boldsymbol{\varepsilon}_i) - (i/(n-i))\mathbf{Q}_{i-1}, \quad i = 1, 2, \dots, n-1. \end{cases} \quad (14.2.3)$$

为求 $\boldsymbol{\varepsilon}_i$, 可应用约束优化方法, 在条件 $\Delta^n (\mathbf{P}_i + \boldsymbol{\varepsilon}_i) = \mathbf{0}$ 之下求极值 $\sum_{i=0}^n \|\boldsymbol{\varepsilon}_i\|^2 = \text{MIN}$. 记

$\boldsymbol{\lambda} = (\lambda^x, \lambda^y, \lambda^z)^T$ 为 Lagrange 乘子, 取 Lagrange 函数为

$$L(\boldsymbol{\varepsilon}_0, \boldsymbol{\varepsilon}_1, \dots, \boldsymbol{\varepsilon}_n, \boldsymbol{\lambda}) = \sum_{i=0}^n \|\boldsymbol{\varepsilon}_i\|^2 + \left[\sum_{i=0}^n (-1)^{n-i} \binom{n}{i} (\mathbf{P}_i + \boldsymbol{\varepsilon}_i) \right] \boldsymbol{\lambda}. \quad (14.2.4)$$

为使降阶逼近曲线保端点位置插值, 还须增加两个约束条件 $\boldsymbol{\varepsilon}_0 = \boldsymbol{\varepsilon}_n = (0, 0, 0)$, 于是由

$$\frac{\partial L}{\partial \lambda^x} = \sum_{i=0}^n (-1)^{n-i} \binom{n}{i} (P_i^x + \varepsilon_i^x) = 0, \quad \frac{\partial L}{\partial \varepsilon_i^x} = 2\varepsilon_i^x + (-1)^{n-i} \binom{n}{i} \lambda^x = 0, \quad i = 1, 2, \dots, n-1,$$

可解出 λ^x 和 ε_i^x , $i = 1, 2, \dots, n-1$, 同理可得 $\varepsilon_i^y, \varepsilon_i^z$, 合并得到

$$\boldsymbol{\varepsilon}_i = \begin{cases} \mathbf{0}, & i = 0, n, \\ - \left[(-1)^{n-i} \binom{n}{i} / \left(\binom{2n}{n} - 2 \right) \right] \sum_{i=0}^n (-1)^{n-i} \binom{n}{i} \mathbf{P}_i, & i = 1, 2, \dots, n-1. \end{cases} \quad (14.2.5)$$

这里我们应用了组合恒等式

$$\sum_{i=0}^n \binom{n}{i}^2 = \binom{2n}{n}. \quad (14.2.6)$$

根据(1.3.2), (14.2.2), (14.1.1)和不等式

$$\left| \sum_{i=0}^n (-1)^{n-i} \binom{n}{i} B_i^n(t) \right| < 1, \quad 0 \leq t \leq 1, \quad (14.2.7)$$

我们最后可得到降阶逼近的误差估计式

$$\|P(t) - \bar{P}(t)\| = \left\| \sum_{i=0}^n B_i^n(t) \varepsilon_i \right\| \leq \frac{\|\Delta^n P_0\|}{\binom{2n}{n} - 2} = \frac{\|F(P_0, P_1, \dots, P_n)\|}{\binom{2n}{n} - 2}, \quad n > 2. \quad (14.2.8)$$

易见 $\|F(P_0, P_1, \dots, P_n)\| = \left\| \sum_{i=0}^n (-1)^{n-i} \binom{n}{i} P_i \right\|$ 是与坐标系无关的一个几何不变量, 这说明

控制顶点扰动和约束优化所产生的降阶逼近误差由曲线(1.3.2)本身的一个内在不变量所界定. 图 14.2.1 显示了四次和五次 Bézier 曲线(实线表示)经 B 网优化扰动后得到的降阶 Bézier 曲线(虚线表示).

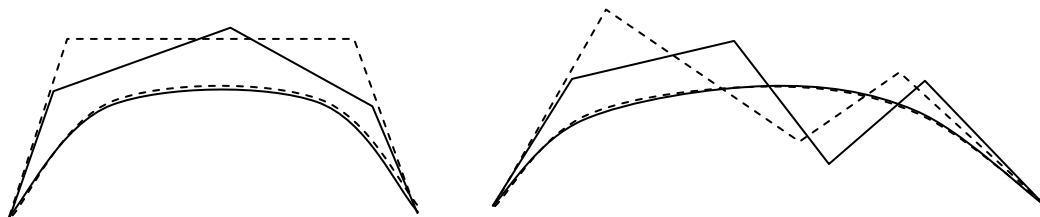


图 14.2.1 四次和五次 Bézier 曲线的降阶

总结以上的推导结果, 我们有

定理 14.2.1 n 次 Bézier 曲线(1.3.2)可经施于控制顶点 P_i 如(14.2.5)所示的扰动 ε_i 后, 近似地转化为两端点不变的 $n-1$ 次 Bézier 曲线 $Q(t)$, 其控制顶点如(14.2.3)所示, 降阶逼近的误差上界如(14.2.8)所示.

14.2.2 离散/降阶算法

为使降阶逼近的误差得到高精度的控制, 可以把上一小节的算法与离散算法结合起来. 这是因为降阶误差取决于曲线的内在不变量 $F(P_0, P_1, \dots, P_n)$. 而下面的定理表明, 离散可使此不变量按曲线次数 n 的指数律递缩. 假设 Bézier 曲线(1.3.2)的两条子曲线为 $P^{(1)} = P^{(1)}(t/c)$ ($0 \leq t \leq c < 1$), $P^{(2)} = P^{(2)}((t-c)/(1-c))$ ($c \leq t \leq 1$), 如(1.4.6)所示, 而它们的控制顶点 P_i^1, P_i^{n-1} ($i=0, 1, \dots, n$)由 (1.3.11) ($t=c$) 给出, 我们有

定理 14.2.2 n 次 Bézier 曲线(1.3.2)及其两条子曲线(1.4.6)的内在不变量 F 之间存在着关系式

$$F(P_0^1, P_1^1, \dots, P_n^1) = c^n \cdot F(P_0, P_1, \dots, P_n), \quad (14.2.9)$$

$$F(P_n^{n-1}, P_{n-1}^{n-1}, \dots, P_0^{n-1}) = (1-c)^n \cdot F(P_0, P_1, \dots, P_n). \quad (14.2.10)$$

证 仅证(14.2.9). 由(1.4.6) 知 $P^{(1)}(t/c) = P(t)$, $0 \leq t \leq c < 1$. 用算子来进行表示就是 $(I + t\Delta/c)^n P_0^0 = (I + t\Delta)^n P_0$, $0 \leq t \leq c$. 今对上式两端求 n 阶导向量, 可以得到 $n! \Delta^n P_0^0 / c^n = n! \Delta^n P_0$. 按照(14.1.1), 上式与(14.2.9)等价. 证毕.

推论 14.2.1 对给定的误差精度 δ , 只要对曲线(1.3.2)执行中点离散算法(即 $c=1-c=1/2$) N 次, 则最终得到的一切 n 次子曲线段, 其 $n-1$ 次降阶逼近的误差均小于 δ . 这里 N 可由下式先验地确定, 记号 $\lceil x \rceil$ 的意义见 §8.2:

$$N = \left\lceil \frac{1}{n} \log_2 \left\{ \|F(P_0, P_1, \dots, P_n)\| / \left(\binom{2n}{n} - 2 \right) \right\} \right\rceil, \quad (14.2.11)$$

根据上述推论和(14.2.8), 我们得到

算法 14.2.1 (用离散/降阶法对 n 次 Bézier 曲线(1.3.2)逐次降阶逼近到 $d(< n)$ 次)

Step 1. 初始化, 令 $k = n, \mathbf{A}_i = \mathbf{P}_i, i = 0, 1, \dots, n$.

Step 2. 对 k 次 Bézier 曲线, 若 $\|F(\mathbf{A}_0, \mathbf{A}_1, \dots, \mathbf{A}_k)\| / \left[\binom{2k}{k} - 2 \right] < \delta / (n - d)$, 则按定理

14.2.1 用低一次的逼近曲线代替原曲线; 否则, 把原曲线递归地在中点离散 K 次, $K = \left\lceil \frac{1}{k} \log_2 \left\{ \|F(\mathbf{A}_0, \mathbf{A}_1, \dots, \mathbf{A}_k)\| / \left[\binom{2k}{k} - 2 \right] \delta \right\} \right\rceil$, 再把 2^K 条 k 次 Bézier 子曲线按定理

14.2.1 各降阶一次.

Step 3. 若曲线已为 d 次, 则停止; 否则, $k = k - 1$, 对每段子曲线重复 Step 2.

14.2.3 降阶中的 G^1 连续条件

在几何造型系统中, 有时要求曲线(1.3.2)降阶一次以后, 与相邻曲线不但保持位置连接, 而且保持切矢平行. 即保持降阶前后的端点和端切向. 这时我们只要把约束条件

$$\boldsymbol{\varepsilon}_0 = \boldsymbol{\varepsilon}_n = \boldsymbol{\varepsilon}_1 - l_1(\mathbf{P}_1 - \mathbf{P}_0) = \boldsymbol{\varepsilon}_{n-1} - l_2(\mathbf{P}_{n-1} - \mathbf{P}_n) = \mathbf{0} \quad (14.2.12)$$

追加到 Lagrange 函数式中即可, 这里 l_1, l_2 可任意选取.

14.3 Bézier 矩形片与 Bézier 三角片降阶的 B 网扰动和约束优化法

14.3.1 Bézier 矩形片的降阶

不失一般性, 本节仅考虑 $m \times n$ 次曲面(7.2.1)降阶到 $(m-1) \times (n-1)$ 次的情形. 今对其每一个控制顶点 $\mathbf{P}_{ij} = (P_{ij}^x, P_{ij}^y, P_{ij}^z)$ 作适当扰动 $\boldsymbol{\varepsilon}_{ij} = (\varepsilon_{ij}^x, \varepsilon_{ij}^y, \varepsilon_{ij}^z)$, 使新曲面

$$\bar{\mathbf{P}}(u, v) = \sum_{i=0}^m \sum_{j=0}^n B_i^m(u) B_j^n(v) \bar{\mathbf{P}}_{ij} = \sum_{i=0}^m \sum_{j=0}^n B_i^m(u) B_j^n(v) (\mathbf{P}_{ij} + \boldsymbol{\varepsilon}_{ij}), \quad 0 \leq u, v \leq 1 \quad (14.3.1)$$

满足(14.1.2)为零向量的退化条件, 即 $\Delta_1^m \bar{\mathbf{P}}_{0j} = \mathbf{0}, j = 0, 1, \dots, n; \Delta_2^n \bar{\mathbf{P}}_{i0} = \mathbf{0}, i = 0, 1, \dots, m$. 这时新曲面为 $(m-1) \times (n-1)$ 次 Bézier 曲面 $\mathbf{Q}(u, v)$, 我们视其为原曲面的降阶逼近. 为求 $\boldsymbol{\varepsilon}_{ij}$,

应用约束优化法, 在上述退化条件下求极值 $\sum_{i=0}^m \sum_{j=0}^n \|\boldsymbol{\varepsilon}_{ij}\| = \text{MIN}$. 记 $\boldsymbol{\lambda}_j = (\lambda_j^x, \lambda_j^y, \lambda_j^z)^T$

($j = 0, 1, \dots, n$), $\boldsymbol{\mu}_i = (\mu_i^x, \mu_i^y, \mu_i^z)^T$ ($i = 0, 1, \dots, m$) 为 Lagrange 乘子, 取 Lagrange 函数为

$$L = \sum_{i=0}^m \sum_{j=0}^n \|\boldsymbol{\varepsilon}_{ij}\|^2 + \sum_{j=0}^n \left[\sum_{i=0}^m (-1)^{m-i} \binom{m}{i} (\mathbf{P}_{ij} + \boldsymbol{\varepsilon}_{ij}) \right] \boldsymbol{\lambda}_j + \sum_{i=0}^m \left[\sum_{j=0}^n (-1)^{n-j} \binom{n}{j} (\mathbf{P}_{ij} + \boldsymbol{\varepsilon}_{ij}) \right] \boldsymbol{\mu}_i, \quad (14.3.2)$$

令 $\partial L / \partial \lambda_j^x = 0, j = 0, 1, \dots, n; \partial L / \partial \mu_i^x = 0, i = 0, 1, \dots, m; \partial L / \partial \varepsilon_{ij}^x = 0, i = 0, 1, \dots, m; j = 0, 1, \dots, n$; 则有

$$\begin{cases} \sum_{i=0}^m (-1)^{m-i} \binom{m}{i} (P_{ij}^x + \varepsilon_{ij}^x) = 0, & \sum_{j=0}^n (-1)^{n-j} \binom{n}{j} (P_{ij}^x + \varepsilon_{ij}^x) = 0, \end{cases} \quad (14.3.3)$$

$$\begin{cases} \varepsilon_{ij}^x = -\frac{1}{2} \left[(-1)^{m-i} \binom{m}{i} \lambda_j^x + (-1)^{n-j} \binom{n}{j} \mu_i^x \right]. \end{cases} \quad (14.3.4)$$

把(14.3.4)代入(14.3.3), 得出方程组

$$\begin{cases} H_m \lambda_j^x + \sum_{i=0}^m D_{ij} \mu_i^x = 2F_j, & j = 0, 1, \dots, n, \end{cases} \quad (14.3.5)$$

$$\begin{cases} \sum_{j=0}^n D_{ij} \lambda_j^x + H_n \mu_i^x = 2G_i, & i = 0, 1, \dots, m, \end{cases} \quad (14.3.6)$$

这里

$$H_m = \sum_{i=0}^m \binom{m}{i}^2 = \binom{2m}{m}, \quad D_{ij} = (-1)^{m+n-i-j} \binom{m}{i} \binom{n}{j},$$

$$F_j = \sum_{i=0}^m (-1)^{m-i} \binom{m}{i} P_{ij}^x, \quad G_i = \sum_{j=0}^n (-1)^{n-i} \binom{n}{j} P_{ij}^x.$$

由(14.3.5)解出 λ_j^x , 代入(14.3.6)可得

$$H_m \mu_i^x - \sum_{k=0}^m (-1)^{i+k} \binom{m}{i} \binom{m}{k} \mu_k^x = 2 \left(H_m G_i - \sum_{j=0}^n D_{ij} F_j \right) / H_n, \quad i = 0, 1, \dots, m, \quad (14.3.7)$$

解此方程组可得 μ_i^x , 从而由(14.3.5)又得 λ_j^x , 把它们代入(14.3.4)可确定 ε_{ij}^x , 同理求得 $\varepsilon_{ij}^y, \varepsilon_{ij}^z$, 于是降阶逼近曲面 $\mathbf{Q}(u, v)$ 可由下列算法给出.

算法 14.3.1 (由 $m \times n$ 次 Bézier 曲面求其 $(m-1) \times (n-1)$ 次降阶逼近曲面的控制顶点 \mathbf{Q}_{ij})

令 $\mathbf{Q}_{i,-1} = \mathbf{Q}_{-1,j} = \mathbf{0}$, $i = -1, 0, \dots, m; j = -1, 0, \dots, n$;

对于 $i = 0, 1, \dots, m-1; j = 0, 1, \dots, n-1$; 计算

$$\mathbf{Q}_{ij} = \frac{mn}{(m-i)(n-j)} (\mathbf{P}_{ij} + \varepsilon_{ij}) - \frac{i}{m-i} \mathbf{Q}_{i-1,j} - \frac{j}{n-j} \mathbf{Q}_{i,j-1} - \frac{ij}{(m-i)(n-j)} \mathbf{Q}_{i-1,j-1}.$$

容易知道, 降阶逼近误差 $\|\mathbf{P}(u, v) - \bar{\mathbf{P}}(u, v)\| = \left\| \sum_{i=0}^m \sum_{j=0}^n B_i^m(u) B_j^n(v) \varepsilon_{ij} \right\|$ 取决于两组几何不

变量 $\|\Delta_1^m \mathbf{P}_{0j}\|$ 和 $\|\Delta_2^n \mathbf{P}_{i0}\|$, 同时也可建立类似于曲线的离散/降阶算法以缩减降阶误差.

14.3.2 Bézier 三角片的降阶

不失一般性, 本节仅考虑 n 次曲面(7.3.7)的一次降阶. 对其每一个顶点 $\mathbf{T}_{ij} = (T_{ij}^x, T_{ij}^y, T_{ij}^z)$ 作适当扰动 $\varepsilon_{ij} = (\varepsilon_{ij}^x, \varepsilon_{ij}^y, \varepsilon_{ij}^z)$, 使新曲面

$$\bar{\mathbf{T}}(u, v) = \sum_{i+j=0}^n B_{ij}^n(u, v) \bar{\mathbf{T}}_{ij} = \sum_{i+j=0}^n B_{ij}^n(u, v) (\mathbf{T}_{ij} + \varepsilon_{ij}) \quad (14.3.8)$$

满足(14.1.3)为零向量的退化条件, 即 $\Delta_1^k \Delta_2^{n-k} \bar{\mathbf{T}}_{ij} = \mathbf{0}$, $k = 0, 1, \dots, n$. 我们取 $n-1$ 次退化曲面为原曲面的降阶逼近. 应用约束优化法, 取 Lagrange 函数为

$$L = \sum_{i+j=0}^n \|\varepsilon_i\|^2 + \sum_{k=0}^n \left[\sum_{i=0}^k \sum_{j=0}^{n-k} (-1)^{n-i-j} \binom{k}{i} \binom{n-k}{j} (\mathbf{T}_{ij} + \varepsilon_{ij}) \right] \lambda_k, \quad (14.3.9)$$

令 $\partial L / \partial \lambda_k^x = 0$, $k = 0, 1, \dots, n$; $\partial L / \partial \varepsilon_{ij}^x = 0$, $i + j = 0, 1, \dots, n$, 则有

$$\left\{ \sum_{i=0}^k \sum_{j=0}^{n-k} (-1)^{n-i-j} \binom{k}{i} \binom{n-k}{j} (T_{ij}^x + \varepsilon_{ij}^x) = 0, \quad k = 0, 1, \dots, n, \right. \quad (14.3.10)$$

$$\left. \varepsilon_{ij}^x = -\frac{1}{2} \sum_{m=i}^{n-j} (-1)^{n-i-j} \binom{m}{i} \binom{n-m}{j} \lambda_m^x, \quad i + j = 0, 1, \dots, n. \right. \quad (14.3.11)$$

把(14.3.11)代入(14.3.10)即得关于 λ_m^x 的方程组

$$\sum_{i=0}^k \sum_{j=0}^{n-k} \sum_{m=i}^{n-j} \phi(i, j, k, m) \lambda_m^x = 2 \sum_{i=0}^k \sum_{j=0}^{n-k} (-1)^{n-i-j} \binom{k}{i} \binom{n-k}{j} T_{ij}^x, \quad k = 0, 1, \dots, n, \quad (14.3.12)$$

这里

$$\phi(i, j, k, m) = \binom{k}{i} \binom{n-k}{j} \binom{m}{i} \binom{n-m}{j}. \quad (14.3.13)$$

利用恒等式

$$\sum_{i=0}^k \sum_{m=i}^{k-1} A_{im} = \sum_{m=0}^{k-1} \sum_{i=0}^m A_{im}, \quad \sum_{j=0}^{n-k} \sum_{m=k}^{n-j} A_{mj} = \sum_{m=k}^n \sum_{j=0}^{n-m} A_{mj},$$

(14.3.12)左端可化为

$$\sum_{i=0}^k \sum_{m=i}^{k-1} \sum_{j=0}^{n-k} \phi(i, j, k, m) \lambda_m^x + \sum_{i=0}^k \sum_{j=0}^{n-k} \sum_{m=k}^{n-j} \phi(i, j, k, m) \lambda_m^x = \sum_{m=0}^n B_{km} \lambda_m^x, \quad (14.3.14)$$

其中

$$B_{km} = \begin{cases} \sum_{i=0}^m \sum_{j=0}^{n-k} \phi(i, j, k, m), & m \leq k-1, \\ \sum_{i=0}^k \sum_{j=0}^{n-m} \phi(i, j, k, m), & m \geq k. \end{cases} \quad (14.3.15)$$

于是引用(14.1.3)的记号, 可知 $\lambda_m^x (m=0, 1, \dots, n)$ 可由方程组

$$(B_{km})_{(n+1) \times (n+1)} (\lambda_0^x, \lambda_1^x, \dots, \lambda_n^x)^T = 2(F_0(T_{ij}^x), F_1(T_{ij}^x), \dots, F_n(T_{ij}^x))^T \quad (14.3.16)$$

求解得出, 再由(14.3.11)可得 ε_{ij}^x , 同理得到 $\varepsilon_{ij}^y, \varepsilon_{ij}^z$, 最后降阶逼近曲面可由下列算法给出.

算法 14.3.2 (由 n 次 Bézier 三角片求其 $n-1$ 次降阶逼近曲面的控制顶点 \mathbf{Q}_{ij})

令 $\mathbf{Q}_{i,-1} = \mathbf{Q}_{-1,i} = \mathbf{0}$, $i = 0, 1, \dots, n-1$; 对于 $i = 0, 1, \dots, n-1$; $j = 0, 1, \dots, n-1$; 计算

$$\mathbf{Q}_{ij} = \frac{n}{n-i-j} (\mathbf{T}_{ij} + \varepsilon_{ij}) - \frac{i}{n-i-j} \mathbf{Q}_{i-1,j} - \frac{j}{n-i-j} \mathbf{Q}_{i,j-1}.$$

容易知道, 降阶逼近误差为 $\|\mathbf{T}(u, v) - \bar{\mathbf{T}}(u, v)\| = \left\| \sum_{i+j=0}^m B_{ij}(u, v) \varepsilon_{ij} \right\|$, 由(14.3.11)可以知道 ε_{ij}

取决于 λ_m , 其中 $m = 0, 1, \dots, n$; 但是按照(14.3.16), $\left\| (\lambda_0^x, \lambda_1^x, \dots, \lambda_n^x)^T \right\| \leq 2 \left\| (B_{km})_{(n+1) \times (n+1)}^{-1} \right\| \times \left\| (F_0(T_{ij}^x), F_1(T_{ij}^x), \dots, F_n(T_{ij}^x))^T \right\|$, 因此降阶误差由三角曲面片(7.3.7)本身的一组内在不变量 $\|F_m(\mathbf{T}_{ij})\| (m=0, 1, \dots, n)$ 所界定. 运用离散/降阶算法可使此不变量依曲面次数 n 的指数律递缩, 其理由基于

定理 14.3.1 n 次 Bézier 三角片 $\mathbf{T}(u, v)$ 及其按标准离散/降阶算法得到的四块 n 次 Bézier 子三角片 $\mathbf{T}^{(l)}(u^{(l)}, v^{(l)}) (l=1, 2, 3, 4)$ 的内在不变量之间, 存在着关系式 $\|F_k(\mathbf{T}_{ij}^{(l)})\| = 2^{-n} \|F_k(\mathbf{T}_{ij})\|$, $k=0, 1, \dots, n$; $l=1, 2, 3, 4$.

证 仅证 $l=1$ 之情形. 如图 14.3.1, 按离散算法, 容易知道第一块子曲面 $\mathbf{T}^{(1)}(u^{(1)}, v^{(1)}) = \mathbf{T}(u, v)$, $0 \leq u, v \leq 1/2, u^{(1)} = 2u, v^{(1)} = 2v$. 用算子表示就是

$(\mathbf{I} + 2u\Delta_1 + 2v\Delta_2)^n \mathbf{T}_{00}^{(1)} = (\mathbf{I} + u\Delta_1 + v\Delta_2)^n \mathbf{T}_{00}$, 由上式两端对 u 求 k 阶, 对 v 求 $n-k$ 阶导向量可得 $2^n \Delta_1^k \Delta_2^{n-k} \mathbf{T}_{00}^{(1)} = \Delta_1^k \Delta_2^{n-k} \mathbf{T}_{00}$, $k=0, 1, \dots, n$. 按(14.1.3)得证本定理.

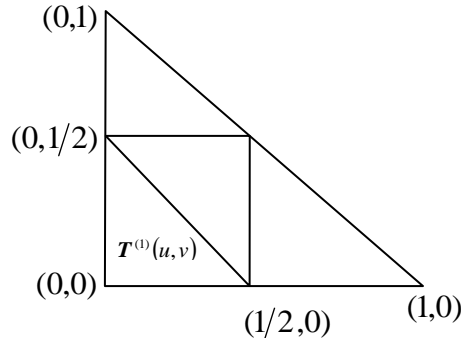


图 14.3.1 Bézier 子三角片 $\mathbf{T}^{(1)}(u, v)$ 的位置

14.4 基于广义逆矩阵的 Bézier 曲线一次性降多阶逼近

14.4.1 端点不保插值的降多阶逼近

这一节需要应用广义逆矩阵的理论. 设 \mathbf{A} 是 $m \times n$ 阶实矩阵, $m \geq n$, 记 $r = \text{rank}(\mathbf{A})$. 计算广义逆矩阵 \mathbf{A}^+ 的一个基本原则^[19]是利用矩阵 \mathbf{A} 的满秩分解 $\mathbf{A} = \mathbf{BC}$, 其中 \mathbf{B} 和 \mathbf{C} 分别为 $m \times r$ 阶列满秩和 $r \times n$ 阶行满秩矩阵. 此时 \mathbf{A} 的广义逆矩阵 $\mathbf{A}^+ = \mathbf{C}^+ \mathbf{B}^+$. 因 \mathbf{B} 和 \mathbf{C} 为列满秩或行满秩的矩阵, 所以 $\mathbf{B}^T \mathbf{B}$ 和 $\mathbf{C} \mathbf{C}^T$ 为 $r \times r$ 阶对称正定方阵, 于是 $\mathbf{A}^+ = \mathbf{C}^T (\mathbf{C} \mathbf{C}^T)^{-1} (\mathbf{B}^T \mathbf{B})^{-1} \mathbf{B}^T$. 这时, 超定线性方程组 $\mathbf{Ax} = \mathbf{b}$ 的最小二乘解为 $\mathbf{x} = \mathbf{A}^+ \mathbf{b} = \mathbf{C}^T (\mathbf{C} \mathbf{C}^T)^{-1} (\mathbf{B}^T \mathbf{B})^{-1} \mathbf{B}^T \mathbf{b}$. 特别, 若矩阵 \mathbf{A} 为列满秩, 即 $\text{rank}(\mathbf{A}) = n$, 则 \mathbf{A}^+ 可简化为 $\mathbf{A}^+ = (\mathbf{A}^T \mathbf{A})^{-1} \mathbf{A}^T$. 相应地, 上述超定线性方程组的最小二乘解就可以简化为 $\mathbf{x} = (\mathbf{A}^T \mathbf{A})^{-1} \mathbf{A}^T \mathbf{b}$.

下面构造降阶逼近的广义逆矩阵方程组. 已知欲降阶的曲线是 n 次 Bézier 曲线

$$\mathbf{P}_n(t) = \sum_{i=0}^n B_i^n(t) \mathbf{P}_{in}. \quad (14.4.1)$$

从升阶的反过程考虑, 设 $n-1$ 次 Bézier 曲线 $\bar{\mathbf{P}}_{n-1}(t) = \sum_{i=0}^{n-1} B_i^{n-1}(t) \bar{\mathbf{P}}_{i,n-1}$ 经过一次升阶后得 (14.4.1), 则由 (1.3.8) 知 $\mathbf{P}_n = \mathbf{A}_n \bar{\mathbf{P}}_{n-1}$. 其中 \mathbf{A}_n 为 $(n+1) \times n$ 阶列满秩矩阵,

$$\mathbf{A}_n = (a_{i,j,n})_{\substack{i=0,\dots,n \\ j=0,\dots,n-1}}, \quad a_{i,j,n} = \begin{cases} (n-i)/n, & i=j \\ i/n, & i=j+1 \\ 0, & \text{其他} \end{cases} \quad (14.4.2)$$

$$\mathbf{P}_n = (\mathbf{P}_{0n}, \mathbf{P}_{1n}, \dots, \mathbf{P}_{nn})^T, \quad \bar{\mathbf{P}}_{n-1} = (\bar{\mathbf{P}}_{0,n-1}, \bar{\mathbf{P}}_{1,n-1}, \dots, \bar{\mathbf{P}}_{n-1,n-1})^T. \quad (14.4.3)$$

类似地, 设 m 次 Bézier 曲线 $\bar{\mathbf{P}}_m(t) = \sum_{i=0}^m B_i^m(t) \bar{\mathbf{P}}_{i,m}$ 经 $n-m$ 次 $((n-m) \geq 2)$ 升阶得到 n 次 Bézier 曲线 (14.4.1), 则有 $(k+1) \times k$ 阶列满秩矩阵 \mathbf{A}_k , $k = n, n-1, \dots, m+1$, 使得

$$\mathbf{P}_n = \mathbf{A}_n \bar{\mathbf{P}}_{n-1} = \mathbf{A}_n \mathbf{A}_{n-1} \bar{\mathbf{P}}_{n-2} = \dots = \mathbf{A}_n \mathbf{A}_{n-1} \dots \mathbf{A}_{m+2} \mathbf{A}_{m+1} \bar{\mathbf{P}}_m.$$

记

$$\mathbf{A} = \mathbf{A}_n \mathbf{A}_{n-1} \dots \mathbf{A}_{m+1} = (a_{ij})_{\substack{i=0,\dots,n \\ j=0,\dots,m}}, \quad (14.4.4)$$

易知 \mathbf{A} 为 $(n+1) \times (m+1)$ 阶列满秩矩阵, 且 $a_{00} = a_{nm} = 1$, $a_{0j} = a_{nk} = 0$, $j = 1, 2, \dots, m$, $k = 0, 1, \dots, m-1$. 我们欲求 $\bar{\mathbf{P}}_m = (\bar{\mathbf{P}}_{0m}, \bar{\mathbf{P}}_{1m}, \dots, \bar{\mathbf{P}}_{mm})^T$, 使得

$$\mathbf{A} \bar{\mathbf{P}}_m = \mathbf{P}_n. \quad (14.4.5)$$

由广义逆矩阵理论可知, 上述超定线性方程组的最小二乘解可表为

$$\bar{\mathbf{P}}_m^* = (\bar{\mathbf{P}}_{0m}^*, \bar{\mathbf{P}}_{1m}^*, \dots, \bar{\mathbf{P}}_{mm}^*)^T = \mathbf{A}^+ \mathbf{P}_n = (\mathbf{A}^T \mathbf{A})^{-1} \mathbf{A}^T \mathbf{P}_n. \quad (14.4.6)$$

从而可得原 n 次曲线 $\mathbf{P}_n(t)$ 的降 $n-m$ 阶的逼近曲线

$$\bar{\mathbf{P}}_m^*(t) = \sum_{i=0}^m B_i^m(t) \bar{\mathbf{P}}_{im}^*. \quad (14.4.7)$$

综合以上分析的结果, 我们有

定理 14.4.1 n 次 Bézier 曲线 (14.4.1) 可一次性地降 $n-m$ ($n-m \geq 2$) 阶而得到逼近曲线 (14.4.7), 其控制顶点为超定线性方程组 (14.4.5) 的最小二乘解 (14.4.6), 其中 \mathbf{A} 如 (14.4.2), (14.4.4) 所示, \mathbf{P}_n 如 (14.4.3) 所示.

14.4.2 保端点插值的降多阶逼近

上一小节所得降阶曲线一般不保持与原曲线有相同的端点值. 为插值原端点, 可规定

$$\bar{\mathbf{P}}_{0m}^* = \bar{\mathbf{P}}_{0m} = \mathbf{P}_{0n}, \quad \bar{\mathbf{P}}_{mm}^* = \bar{\mathbf{P}}_{mm} = \mathbf{P}_{nn}. \quad (14.4.8)$$

这时超定线性方程组(14.4.5)有所变化. 为得其表达式, 可引入矩阵分块方法, 记

$$\mathbf{A} = \mathbf{A}_{(n+1) \times (m+1)} = \begin{pmatrix} 1 & \mathbf{0} & 0 \\ \mathbf{A}^L & \mathbf{A}^C & \mathbf{A}^R \\ 0 & \mathbf{0} & 1 \end{pmatrix}, \quad \bar{\mathbf{P}}_m = \begin{pmatrix} \bar{\mathbf{P}}_{0m} \\ \bar{\mathbf{P}}_m^c \\ \bar{\mathbf{P}}_{mm} \end{pmatrix}, \quad \mathbf{P}_n = \begin{pmatrix} \mathbf{P}_{0n} \\ \mathbf{P}_n^c \\ \mathbf{P}_{nn} \end{pmatrix}. \quad (14.4.9)$$

这里 $\mathbf{A}^L, \mathbf{A}^R$ 为 $(n-1) \times 1$ 阶矩阵, \mathbf{A}^C 为 $(n-1) \times (m-1)$ 阶列满秩矩阵, 其元素均由升阶系数按(14.4.4)计算可得, 且

$$\mathbf{P}_n^c = (\mathbf{P}_{1n}, \mathbf{P}_{2n}, \dots, \mathbf{P}_{n-1,n})^T, \quad \bar{\mathbf{P}}_m^c = (\bar{\mathbf{P}}_{1m}, \bar{\mathbf{P}}_{2m}, \dots, \bar{\mathbf{P}}_{m-1,m})^T \quad (14.4.10)$$

分别为 $(n-1) \times 1$ 阶和 $(m-1) \times 1$ 阶矩阵. 由分块矩阵乘法, 易知现在(14.4.5)变为

$$\mathbf{A}^C \bar{\mathbf{P}}_m^c = \mathbf{P}_n^c - \mathbf{A}^L \mathbf{P}_{0n} - \mathbf{A}^R \mathbf{P}_{nn}. \quad (14.4.11)$$

因 \mathbf{A}^C 列满秩, 存在 $(m-1) \times (n-1)$ 阶广义逆矩阵

$$(\mathbf{A}^C)^+ = ((\mathbf{A}^C)^T \mathbf{A}^C)^{-1} (\mathbf{A}^C)^T, \quad (14.4.12)$$

使上面这一超定线性方程组的最小二乘解可表为

$$\begin{aligned} \bar{\mathbf{P}}_m^{*c} &= (\bar{\mathbf{P}}_{1m}^*, \bar{\mathbf{P}}_{2m}^*, \dots, \bar{\mathbf{P}}_{m-1,m}^*)^T = (\mathbf{A}^C)^+ (\mathbf{P}_n^c - \mathbf{A}^L \mathbf{P}_{0n} - \mathbf{A}^R \mathbf{P}_{nn}) \\ &= \begin{pmatrix} -(\mathbf{A}^C)^+ \mathbf{A}^L & (\mathbf{A}^C)^+ & -(\mathbf{A}^C)^+ \mathbf{A}^R \end{pmatrix} (\mathbf{P}_{0n}, \mathbf{P}_n^c, \mathbf{P}_{nn})^T. \end{aligned} \quad (14.4.13)$$

把端点条件式(14.4.8)与(14.4.13)合并, 可写为

$$\bar{\mathbf{P}}_m^* = (\bar{\mathbf{P}}_{0m}^*, \bar{\mathbf{P}}_{1m}^*, \dots, \bar{\mathbf{P}}_{mm}^*)^T = \tilde{\mathbf{A}}^+ \mathbf{P}_n, \quad (14.4.14)$$

$$\tilde{\mathbf{A}}^+ = \begin{pmatrix} 1 & \mathbf{0} & 0 \\ -(\mathbf{A}^C)^+ \mathbf{A}^L & (\mathbf{A}^C)^+ & -(\mathbf{A}^C)^+ \mathbf{A}^R \\ 0 & \mathbf{0} & 1 \end{pmatrix}. \quad (14.4.15)$$

对于需满足端点 C^1 或 C^2 连续条件的降多阶逼近算法可类似推出.

综合以上分析的结果, 我们有

定理 14.4.2 n 次 Bézier 曲线(14.4.1)可一次性地保端点插值降 $n-m$ ($n-m \geq 2$) 阶而得到逼近曲线(14.4.7), 其控制顶点可由(14.4.14), (14.4.15)计算得到, 其中 $\mathbf{A}^L, \mathbf{A}^R, (\mathbf{A}^C)^+$ 如(14.4.9), (14.4.12)所示; \mathbf{A} 如(14.4.2), (14.4.5)所示; \mathbf{P}_n 如(14.4.3)所示.

14.4.3 误差分析及实例

对于一般的 Bézier 曲线的降多阶逼近, 可结合自适应分割算法进行降阶. 即若降多阶后所得 m 次曲线 $\bar{\mathbf{P}}_m^*(t)$ 与原曲线 $\mathbf{P}_n(t)$ 的误差 ε 大于给定公差, 则可将其分割, 再对每段子曲线

分别降阶. 误差上界的计算方法如下: 将 $\bar{\mathbf{P}}_m^*(t)$ 经 $n-m$ 次升阶得曲线 $\mathbf{Q}_n(t) = \sum_{i=0}^n B_i^n(t) \mathbf{Q}_i$,

则 $\mathbf{Q}_n = (\mathbf{Q}_0, \mathbf{Q}_1, \dots, \mathbf{Q}_n)^T = \mathbf{A} \bar{\mathbf{P}}_m^*$. 于是

$$\varepsilon = \|\mathbf{P}_n(t) - \bar{\mathbf{P}}_m^*(t)\| = \|\mathbf{P}_n(t) - \mathbf{Q}_n(t)\| = \left\| \sum_{i=0}^n B_i^n(t) \mathbf{P}_i - \sum_{i=0}^n B_i^n(t) \mathbf{Q}_i \right\| \leq \max_{i=0, \dots, n} \|\mathbf{P}_i - \mathbf{Q}_i\|.$$

下列两图是两条十次 Bézier 曲线用本节算法降阶的情形. 图 14.4.1、图 14.4.2 中的逼近曲线分别不插值或插值原曲线两端点. 实线(虚线)表示原曲线(逼近曲线)及其控制多边形.

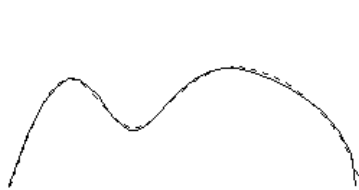


图 14.4.1 十次 B ézier 曲线的降阶(未插值端点)

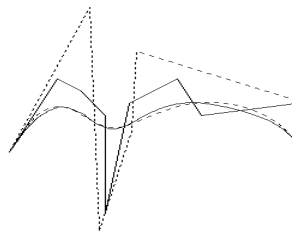


图 14.4.2 十次 B ézier 曲线的降阶(插值端点)

14.5 保端点高阶插值的 B ézier 曲线一次性降多阶逼近

首先我们不加证明地给出三个引理, 再由引理 14.5.1 得出定理 14.5.1.

引理 14.5.1 m 次 Bernstein 基 $B_i^m(t)$ ($0 \leq t \leq 1$) 可表示为

$$B_i^m(t) = \sum_{j=i}^{n+i-m} B_j^n(t) b_{i,j}, \quad n > m, i = 0, 1, \dots, m, \quad (14.5.1)$$

$$b_{ij} = \binom{m}{i} \binom{n-m}{j-i} / \binom{n}{j}, \quad i = 0, 1, \dots, m; j = 0, 1, \dots, n. \quad (14.5.2)$$

引理 14.5.2 设 $r + p + 1 < n$, $N = n - (r + p + 2)$, 则

$$\sum_{i=r+1}^{n-p-1} B_i^n(t) P_i = (1-t)^{p+1} t^{r+1} \sum_{i=0}^N B_i^N(t) \tilde{P}_i, \quad (14.5.3)$$

$$\tilde{P}_i = P_{r+i+1} \binom{n}{r+i+1} / \binom{N}{i}, \quad i = 0, 1, \dots, N, \quad (14.5.4)$$

$$P_i = \tilde{P}_{i-r-1} \binom{N}{i-r-1} / \binom{n}{i}, \quad i = r+1, r+2, \dots, n-p-1. \quad (14.5.5)$$

引理 14.5.3 设 b_{ij} 由(14.5.2)定义, 记 $H_k(t) = \cos(k \arccos t)$ ($-1 \leq t \leq 1$) 为 k 次 Chebyshev 多项式, $k = 0, 1, \dots, n$, 则它们与 n 次 Bernstein 基的相互线性表示可写成矩阵式

$$\mathbf{H}_n = \mathbf{A}_{n \times n} \mathbf{B}_n, \quad \mathbf{B}_n = \mathbf{A}_{n \times n}^{-1} \mathbf{H}_n = \mathbf{C}_{n \times n} \mathbf{H}_n, \quad (14.5.6)$$

$$\mathbf{H}_n = (H_0(2t-1), H_1(2t-1), \dots, H_n(2t-1))^T, \quad \mathbf{B}_n = (B_0^n(t), B_1^n(t), \dots, B_n^n(t))^T, \quad (14.5.7)$$

$$\mathbf{A}_{n \times n} = (A_{kj})_{n \times n}, \quad A_{kj} = \sum_{i=\max(0, j+k-n)}^{\min(j, k)} (-1)^{k+i} b_{ij} \binom{2k}{2i} / \binom{k}{i}. \quad (14.5.8)$$

定理 14.5.1 设 $r + p < m < n$, n 次 B ézier 曲线 $P_n(t)$ 即(1.3.2)表为

$$\sum_{i=0}^n B_i^n(t) P_i \equiv Q(t) = \sum_{i=0}^r B_i^m(t) Q_i + \sum_{i=r+1}^{n-p-1} B_i^n(t) P_i^I + \sum_{i=m-p}^m B_i^m(t) Q_i \quad (14.5.9)$$

的充要条件是(14.5.10)一(14.5.12)同时成立:

$$\begin{cases} Q_0 = \frac{1}{b_{0,0}} P_0, Q_j = \frac{1}{b_{j,j}} \left(P_j - \sum_{i=\max(0, j-(n-m))}^{j-1} b_{i,j} Q_i \right), & j = 1, 2, \dots, r, \\ Q_m = \frac{1}{b_{m,n}} P_n, Q_{m-j} = \frac{1}{b_{m-j, n-j}} \left(P_{n-j} - \sum_{i=\max(0, j-(n-m))}^{j-1} b_{m-i, n-j} Q_{m-i} \right), & j = 1, 2, \dots, p, \end{cases} \quad (14.5.10)$$

当 $m - p > n + r - m$ 时

$$\begin{cases} \mathbf{P}_j^I = \mathbf{P}_j - \sum_{i=0}^r b_{i,j} \mathbf{Q}_i, & j = r+1, r+2, \dots, n+r-m, \\ \mathbf{P}_j^I = \mathbf{P}_j, & j = n+r-m+1, n+r-m+2, \dots, \max(m-p-1, n+r-m+1), \\ \mathbf{P}_j^I = \mathbf{P}_j - \sum_{i=0}^p b_{m-i,j} \mathbf{Q}_{m-i}, & j = m-p, m-p+1, \dots, n-p-1, \end{cases} \quad (14.5.11)$$

当 $m-p \leq n+r-m$ 时

$$\begin{cases} \mathbf{P}_j^I = \mathbf{P}_j - \sum_{i=0}^r b_{i,j} \mathbf{Q}_i, & j = r+1, r+2, \dots, \max(m-p-1, r+1), \\ \mathbf{P}_j^I = \mathbf{P}_j - \sum_{i=0}^r b_{i,j} \mathbf{Q}_i - \sum_{i=0}^p b_{m-i,j} \mathbf{Q}_{m-i}, & j = m-p, m-p+1, \dots, n+r-m, \\ \mathbf{P}_j^I = \mathbf{P}_j - \sum_{i=0}^p b_{m-i,j} \mathbf{Q}_{m-i}, & j = \min(n+r-m+1, n-p-1), n+r-m+2, \dots, n-p-1. \end{cases} \quad (14.5.12)$$

这里 $n-p-1$ 与 m 之间无大小限制, $\{\mathbf{Q}_i\}_{i=0}^r, \{\mathbf{Q}_i\}_{i=m-p}^m$ 为对于曲线 $\mathbf{Q}(t) = \mathbf{P}_n(t)$ 作降阶逼近

的 m 次 Bézier 曲线 $\mathbf{Q}_m(t) = \sum_{i=0}^m B_i^n(t) \mathbf{Q}_i$ 在首末端点附近的部分控制顶点, $\{\mathbf{P}_i^I\}_{i=r+1}^{n-p-1}$ 为待变动的辅助控制顶点, 且必有

$$\frac{d^\lambda \mathbf{Q}_m(0)}{dt^\lambda} = \frac{d^\lambda \mathbf{P}_n(0)}{dt^\lambda}, \quad \lambda = 0, 1, \dots, r; \quad \frac{d^\mu \mathbf{Q}_m(1)}{dt^\mu} = \frac{d^\mu \mathbf{P}_n(1)}{dt^\mu}, \quad \mu = 0, 1, \dots, p. \quad (14.5.13)$$

即曲线 $\mathbf{Q}_m(t)$ 对于曲线 $\mathbf{P}_n(t)$ 保首末端点 (r, p) 阶插值.

证 把(14.5.1)代入(14.5.9)的右端, 改写为矩阵形式, 记 $b_{ij} = 0$ ($j < i$ 或 $j-i > n-m$), 得

$$\begin{aligned} & (\mathbf{Q}_0, \mathbf{Q}_1, \dots, \mathbf{Q}_r) \begin{pmatrix} b_{0,0} & b_{0,1} & \cdots & b_{0,n-m} \\ & b_{1,1} & \cdots & b_{1,n-m} & b_{1,n-m+1} \\ & & \cdots & & \\ & & & b_{r,r} & b_{r,r+1} & \cdots & b_{r,n-m+r} \end{pmatrix} \begin{pmatrix} B_0^n \\ B_1^n \\ \vdots \\ B_{n+r-m}^n \end{pmatrix} + (\mathbf{P}_{r+1}^I, \mathbf{P}_{r+2}^I, \dots, \mathbf{P}_{n-p-1}^I) \\ & \times \begin{pmatrix} B_{r+1}^n \\ B_{r+2}^n \\ \vdots \\ B_{n-p-1}^n \end{pmatrix} + (\mathbf{Q}_{m-p}, \dots, \mathbf{Q}_{m-1}, \mathbf{Q}_m) \begin{pmatrix} b_{m-p,m-p} & \cdots & b_{m-p,n-p} \\ & \cdots & \\ & b_{m-1,m-1} & \cdots & b_{m-1,n-1} \\ & & b_{m,m} & \cdots & b_{m,n-1} & b_{m,n} \end{pmatrix} \begin{pmatrix} B_{m-p}^n \\ \vdots \\ B_{n-1}^n \\ B_n^n \end{pmatrix} \\ & = (\mathbf{P}_0, \mathbf{P}_1, \dots, \mathbf{P}_r, \mathbf{P}_{r+1}, \dots, \mathbf{P}_{n-p-1}, \mathbf{P}_{n-p}, \dots, \mathbf{P}_n) \begin{pmatrix} B_0^n & \cdots & B_{n-1}^n & B_n^n \end{pmatrix}^T, \end{aligned}$$

从而由 Bernstein 基的线性无关性, 即可推知(14.5.10)–(14.5.12)的必要性和充分性.

其次由(14.5.1)和(14.5.10)有

$$\mathbf{Q}_m(t) = \sum_{j=0}^r B_j^n(t) \mathbf{P}_j + \sum_{j=r+1}^{n-p-1} B_j^n(t) \left(\sum_{i=\max(0, j-(n-m))}^{\min(j, m)} b_{i,j} \mathbf{Q}_i \right) + \sum_{j=n-p}^n B_j^n(t) \mathbf{P}_j.$$

可见(14.5.13)成立. 证毕.

推论 14.5.1 若 $m = n-1$, $r = p = [(m-1)/2]$, 且当 m 为奇数时, 取 $\{\mathbf{Q}_i\}_{i=0}^m$ 如(14.5.10)所示; 当 m 为偶数时, 取 $\{\mathbf{Q}_i\}_{i=0}^{m/2-1}, \{\mathbf{Q}_i\}_{i=m/2+1}^m$ 如(14.5.10)所示, 且取 $\mathbf{Q}_{m/2} = (\hat{\mathbf{Q}}^L + \hat{\mathbf{Q}}^R)/2$, 其中 $\hat{\mathbf{Q}}^L = (n\mathbf{P}_{r+1} - (r+1)\mathbf{Q}_r)/(n-(r+1))$, $\hat{\mathbf{Q}}^R = (n\mathbf{P}_{m-p} - (n-m+p)\mathbf{Q}_{m-p})/(m-p)$. 则以

$\{Q_i\}_{i=0}^m$ 作为控制顶点的 m 次 Bézier 曲线 $Q_m(t)$, 即为 L.Piegl 在文献[14]中所得的对于曲线 $P_n(t)$ 降阶一次的曲线, 此时 $Q_m(t)$ 在首末端点各插值原曲线的 $[(m-1)/2]$ 阶导矢, 且 m 为奇数时逼近误差恰为 $P_{n/2}^I B_{n/2}^n(t)$.

推论 14.5.2 若 $m = r + p + 1$, 且取 $\{Q_i\}_{i=0}^m$ 如(14.5.10)式所示, 则以 $\{Q_i\}_{i=0}^m$ 为控制顶点的 m 次 Bézier 曲线 $Q_m(t)$ 是对于曲线 $P_n(t)$ 的最简单的保首末端点 (r, p) 阶插值的降阶逼近, 且是 Hermite 插值曲线, 即 $\{Q_i\}_{i=0}^m$ 均可由 Hermite 插值条件求出, 而降阶逼近误差为 $\sum_{i=r+1}^{n-p-1} P_i^I B_i^n(t)$.

因 $m = r + p + 1$ 的情形是平凡的, $m < r + p + 1$ 时不存在满足所给端点插值条件的降阶逼近, 所以我们只对 $m > r + p + 1$ 的情形构造降阶逼近曲线. 由定理 14.5.1 可求得

$\{Q_i\}_{i=0}^r, \{Q_i\}_{i=m-p}^m, \{P_i^I\}_{i=r+1}^{n-p-1}$, 下面我们利用 Chebyshev 多项式逼近, 用 $\sum_{i=r+1}^{m-p-1} B_i^m(t) P_i^{IV}$ 对 $\sum_{i=r+1}^{n-p-1} B_i^n(t) P_i^I$ 进行端点不插值的降阶逼近, 这里 $\{P_i^{IV}\}_{i=r+1}^{m-p-1}$ 是待求的控制顶点.

首先取引理 14.5.2 中的 P_i 为 P_i^I , \tilde{P}_i 为 P_i^{II} , 则

$$P_i^{II} = P_{r+1+i}^I \cdot \frac{\binom{n}{r+1+i}}{\binom{n}{i}}, \quad i = 0, 1, \dots, N. \quad (14.5.14)$$

记 $P_N^{II} = (P_0^{II}, P_1^{II}, \dots, P_N^{II})$, 则由引理 14.5.3 知

$$P_N^{II} B_N = P_N^{II} C_{N \times N} H_N = P_N^{III} H_N. \quad (14.5.15)$$

设 $P_N^{III} = P_N^{II} C_{N \times N} = (P_0^{III}, P_1^{III}, \dots, P_N^{III})$, $M = m - (r + p + 2)$, 取 P_N^{III} 的前 M 个元素来产生 M 次 Chebyshev 多项式曲线, 则由 Chebyshev 多项式逼近理论^[20], 此时 $P_M^{III} H_M$ 为逼近多项式 $P_N^{II} B_N$ 的所有 M 次多项式中的近似最佳一致逼近, 又因 $\max_{0 \leq t \leq 1} \|H_i(2t-1)\| \leq 1$, 此时的逼近误差为 $\Delta(H, B) = (\|P_{M+1}^{III}\| + \|P_{M+2}^{III}\| + \dots + \|P_N^{III}\|)$.

下面将 $P_M^{III} H_M$ 返回到 Bernstein 基下的对应 Bézier 表示. 由引理 14.5.3 可知

$$(1-t)^{p+1} t^{r+1} P_M^{III} H_M = (1-t)^{p+1} t^{r+1} P_M^{III} A_{M \times M} B_M, \\ P_M^{III} A_{M \times M} = \left(\sum_{j=0}^M P_j^{III} A_{j,0}, \sum_{j=0}^M P_j^{III} A_{j,1}, \dots, \sum_{j=0}^M P_j^{III} A_{j,M} \right).$$

但由引理 14.5.2 得

$$(1-t)^{p+1} t^{r+1} P_M^{III} A_{M \times M} B_M = \sum_{i=r+1}^{m-p-1} B_i^m(t) P_i^{IV}, \\ P_i^{IV} = \sum_{j=0}^M P_j^{III} A_{j,i-r-1} \frac{\binom{M}{i-r-1}}{\binom{M}{i}}, \quad \begin{matrix} i = r+1, r+2, \dots, m-p-1, \\ M = m - (r + p + 2), \end{matrix} \quad (14.5.16)$$

这样我们可得如下的

定理 14.5.2 给定以 $\{P_i\}_{i=0}^n$ 为控制顶点的一条 n 次 Bézier 多项式曲线 $P_n(t)$, 设 $r + p + 1 < m < n$, 若分别取 $\{Q_i\}_{i=0}^r, \{Q_i\}_{i=m-p}^m$ 如 (14.5.10) 式所示, 取 $Q_i = P_i^{IV}$, $i = r+1, r+2, \dots, m-p-1$, 由(14.5.11), (14.5.12), (14.5.14)—(14.5.16)所决定, 则由 $\{Q_i\}_{i=0}^m$ 作为控制顶点所生成的 m 次 Bézier 曲线 $Q_m(t)$ 为保首末端点 (r, p) 阶插值的对曲线 $P_n(t)$ 的近似最佳一致降阶逼近, 其降阶逼近误差为

$$\varepsilon = d(P_n, Q_m) = \max_{0 \leq t \leq 1} ((1-t)^{p+1} t^{r+1}) \sum_{i=M+1}^N \|P_i^{\text{III}}\| = \frac{(p+1)^{p+1} (r+1)^{r+1}}{(p+r+2)^{p+r+2}} \sum_{i=M+1}^N \|P_i^{\text{III}}\|.$$

例 14.5.1 如图 14.5.1, 14.5.2 中实线所示为一条十五次 Bézier 曲线, 应用定理 14.5.2 一次性地对其降五阶后所得保端点 (r, p) 阶插值的十次 Bézier 逼近曲线分别如图中虚线所示. 将其与分割算法相结合, 获得了快速的收敛效果.



图 14.5.1 十五次 Bézier 曲线降五阶, $(r, p)=(1,1)$ 图 14.5.2 十五次 Bézier 曲线降五阶, $(r, p)=(2,2)$

主要文献

- [HSM, SJG, JTG, WGZ, 98] Hu Shimin, Sun Jianguang, Jin Tongguang, Wang Guozhao, Approximate degree reduction of Bézier curves, Tsinghua Science and Technology, 1998, 3(2): 997-1000
- [HSM, 96] 胡事民, CAD 系统数据通讯中若干问题的研究, 浙江大学博士学位论文, 1996 年 4 月, 杭州
- [CGD, WGJ, 2000a] 陈国栋, 王国瑾, 基于广义逆矩阵的 Bézier 曲线降阶逼近, 软件学报, 即将发表
- [CGD, WGJ, 2000b] 陈国栋, 王国瑾, 带端点插值条件的 Bézier 曲线降多阶逼近, 软件学报, 2000, 11(9): 1202-1206

参考文献

- Forrest, A.R., Interactive interpolation and approximation by Bézier curve, The Computer Journal, 1972, 15(1): 71-79
- Farin, G., Algorithms for rational Bézier curves, Computer Aided Design, 1983, 15(2): 73-77
- Park, Y., Choi, U.J., The error analysis for degree reduction of Bézier curves, An international Journal of Computers and Mathematics with Application, 1994, 27(12): 1-6
- Danneberg, L., Nowacki, H., Approximate conversion of surface representations with polynomial bases, Computer Aided Geometric Design, 1985, 2(2): 123-131
- Hoschek, J., Approximate conversion of spline curves, Computer Aided Geometric Design, 1987, 4(1): 59-66
- Moore, D., Warren, J., Least-square approximation to Bézier curves and surfaces, in: James Arvo ed., Computer Games (II), Academic Press, New York, 1991
- Lodha, S., Warren, J., Degree reduction of Bézier simplexes, Computer Aided Design, 1994, 26(10): 735-746
- Watkins, M., Worsey, A., Degree reduction for Bézier curves, Computer Aided Design, 1988, 20(7): 398-405
- Lachance, M.A., Chebyshev economization for parametric surfaces, Computer Aided Geometric Design, 1988, 5(3): 195-208
- Eck, M., Degree reduction of Bézier curves, Computer Aided Geometric Design, 1993, 10(4): 237-251
- Brunnett, G., Schreiber, T., Braun, J., The geometry of optimal degree reduction of Bézier curves, Computer Aided Geometric Design, 1996, 13(8): 773-788
- Eck, M., Least squares degree reduction of Bézier curves, Computer Aided Design, 1995, 27(11): 845-851
- 王仁宏, 梁学章, 多元函数逼近, 科学出版社, 1988
- Piegl, L., Tiller, W., Algorithm for degree reduction of B-spline curves. Computer Aided Design, 1995, 27(2): 101-110
- Bogacki, P., Weinstein, S., Xu, Y., Degree reduction of Bézier curves by uniform approximation with endpoint interpolation, Computer Aided Design, 1995, 27(9): 651-661
- Sederberg, T.W., Chang, G.Z., Best linear common divisors for approximation degree reduction, Computer Aided Design, 1993, 25(3): 163-168
- 陈发来, 带约束的最佳线性公因子及有理曲线的降阶逼近, 高等学校计算数学学报, 计算几何专辑, 1993, 14-21
- Wolters, H.J., Wu, G., Farin, G., Degree reduction of B-Spline curves, Computing, 1998, Supplement 13: 235-241
- 何旭初, 广义逆矩阵的基本理论和计算方法, 上海科学技术出版社, 1985
- Fox, L., Parker, I.B., Chebyshev Polynomials in Numerical Analysis, Oxford University Press, London, 1968